

3

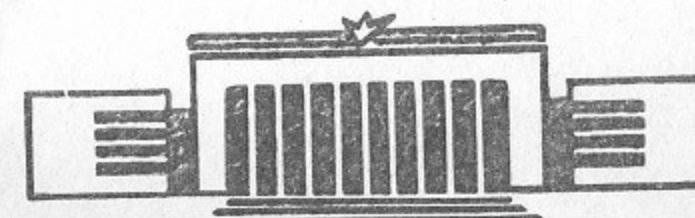


ИНСТИТУТ ЯДЕРНОЙ ФИЗИКИ СО АН СССР

В.Н.Байер, В.М.Катков, В.М.Страховенко

РОЖДЕНИЕ ПАРЫ ЧАСТИЦ ФОТОНОМ,  
ВЛЕТАЮЩИМ В МОНОКРИСТАЛЛ  
ВДОЛЬ ОСЕЙ ИЛИ ПЛОСКОСТЕЙ

ПРЕПРИНТ 84-104



НОВОСИБИРСК

В.Н.Байер, В.М.Катков, В.М.Страховенко

РОЖДЕНИЕ ПАРЫ ЧАСТИЦ ФОТОНОМ, ВЛЕТАЮЩИМ В МОНОКРИСТАЛЛ  
ВДОЛЬ ОСЕЙ ИЛИ ПЛОСКОСТЕЙ

А Н Н О Т А Ц И Я

Обсуждается механизм рождения пары частиц фотоном очень высокой энергии в поле осей или плоскостей монокристалла. В квазиклассическом приближении получена общая формула (2) для вероятности рождения пары, справедливая для любых полей, в том числе и сильно неоднородных. Прослежен переход к случаю постоянного поля, для которого вероятность рождения пары  $W_e$  для оси  $\langle 111 \rangle$  в некоторых веществах приведена на рис.1,2. Определены положения максимума  $W_e$  и его высота (см., форм.(6)).

PARTICLE PAIR PRODUCTION BY A PHOTON MOVING ALONG THE AXES  
OR THE PLANES IN A SINGLE CRYSTAL

V.N.Baier, V.M.Katkov and V.M.Strakhovenko

Institute of Nuclear Physics  
630090 Novosibirsk, USSR

**A b s t r a c t**

The production mechanism of a pair of particles by a high-energy photon in the fields of axes or planes in a single crystal is discussed. In a quasiclassical approximation, the general formula (2) for pair production probability has been derived, which holds for any fields, including the strongly inhomogeneous ones. A transition is traced to the case of a constant field for which the pair production probability  $W_e$  for the  $\langle 111 \rangle$  axis in some media is presented in Figs. 1 and 2. The positions of the maximum of  $W_e$  and its height have been estimated (see formula (6)).

I. При прохождении электронов и фотонов большой энергии через монокристаллы основные электромагнитные процессы – излучение и рождение пар существенно модифицируются. В частности, рождение пар может идти не только на изолированных атомных ядрах (механизм Бете-Гайтлера), но и в поле осей или плоскостей монокристалла [1,2]. Последний процесс является проявлением общего механизма рождения пар фотоном большой энергии во внешнем электромагнитном поле, см., напр., [3], где показано, что в постоянном поле время формирования процесса есть  $\tau_f \sim \frac{e}{m} \frac{E_0}{E}$ , а основным параметром, определяющим его характер является

$$\mathcal{D} = \frac{e}{m^3} \sqrt{|F_{\mu\nu} K^\nu|^2} = \frac{e}{m^3} \left[ (\vec{K} \times \vec{H} + \omega \vec{E})^2 - (\vec{K} \cdot \vec{E})^2 \right]^{1/2} \xrightarrow[\substack{\vec{H}=0, \\ E \perp K}]{} \frac{E \omega}{E_0 m} \quad (I)$$

где  $K^\nu(\omega, \vec{K})$  – 4-импульс фотона,  $m$  – масса электрона,  $E_0 = m^2/e = 1,32 \cdot 10^{16}$  В/см – критическое поле. Если за время  $\tau_f$  поле на траектории частицы меняется слабо, то можно непосредственно использовать известные формулы для постоянного поля. Проявления обсуждаемого механизма становятся заметными только в области высоких энергий (больше десяти ГэВ [2]), когда частицы пары рождаются ультраквантами. При этих условиях адекватным способом описания процесса является квазиклассическое приближение. В работе [2] рождение пар фотоном в монокристалле за счет обсуждаемого механизма проведено при значениях  $\mathcal{D} \lesssim 1$ . В настоящей работе дано общее рассмотрение процесса в квазиклассическом приближении и изучена область произвольных значений параметра  $\mathcal{D}$ .

2. Рассмотрение проводится в рамках подхода, развитого в [3]. Как показано там (§ II), вероятность рождения пары может быть получена из вероятности излучения с помощью соответствующих замен. Мы будем исходить из формул (2.1)-(2.5) работы [4]. Учитывая ультраквантанизм родившихся частиц и сохраняя старшие члены разложения по  $m/\omega$ , имеем для полной вероятности (за все время взаимодействия)

$$W_e = \frac{\omega m^2}{(2\pi)^2 \bar{\omega}} \int \int \frac{d^2 \xi_0}{S} dP_{0\perp} \frac{dE}{\epsilon \epsilon'} \int dt_1 dt_2 \left[ 1 - \frac{\epsilon(\epsilon^2 + \epsilon'^2)}{4\epsilon' m^2} (\vec{U}_1(t_1) - \vec{U}_1(t_2))^2 \right] e^{-\omega t} \quad (2)$$

$$A = \frac{\epsilon \omega}{2\epsilon'} \int_{t_2}^{t_1} dt \left[ \frac{m^2}{\epsilon^2} + (\vec{n}_\perp - \vec{v}_\perp(t))^2 \right],$$

где  $\epsilon, \epsilon' = \omega - \epsilon$  - энергии частиц родившейся пары,  $\vec{n} = \vec{k}/\omega$ , индекс  $\perp$  означает компоненту, перпендикулярную оси  $\vec{z}$ , которая в осевом случае выбирается вдоль направления цепочки атомов, а в плоскостном случае - вдоль составляющей  $\vec{n}$  параллельной плоскости,  $\vec{p}_{o\perp}$  - импульс частицы в точке рождения  $\vec{s}_c \equiv \vec{s}_{o\perp}$ . Суммирование по всем возможным траекториям родившихся частиц дается интегралом  $\frac{1}{S} \int d^2 s_o d^2 p_{o\perp} d\epsilon$ , где  $S$  - площадь поперечного сечения, по которому производится интегрирование. Периодичность кристалла позволяет использовать в качестве  $S$  площадь, приходящуюся на одну цепочку (плоскость). Обратим внимание, что формула (2) применима в квазиклассическом приближении для любых полей, в том числе и для сильно неоднородных.

Процесс рождения пары идет с заметной вероятностью, когда  $eE_z \frac{1}{m} \geq m$ , где  $E_z$  - электрическое поле в системе покоя частицы, т.е.  $E_z \gtrsim \frac{m^2}{e} = E_o$ . Если  $\ell$  - линейный размер области, где градиент потенциала максимальен, то имеем

$$\frac{\omega U_o}{m^2} \gtrsim \ell m \gg 1 \quad (3)$$

где  $U_o$  - характерный масштаб потенциала. При данном  $U_o$  с ростом энергии  $\omega$  размер области, где идет процесс, возрастает.

Качественные особенности процесса можно получить, анализируя экспоненту в (2). Видно, что вклад дают участки траектории, когда либо  $|\vec{n}_\perp|, |\vec{v}_\perp| \lesssim m/\epsilon$ , либо  $|\vec{n}_\perp - \vec{v}_\perp| \lesssim m/\epsilon$ , т.е. частицы пары вылетают в угол  $\sim m/\epsilon$  вокруг  $\vec{n}_\perp$ . Когда угол влета фотона  $\vartheta_o$  растет и  $\vartheta_o = |\vec{n}_\perp| \gg m/\omega$ , то в соответствии с (3) родившиеся частицы находятся высоко над барьером, тогда их поперечная скорость отличается от средней на величину  $\Delta v_\perp \sim U_o/\epsilon \vartheta_o$ . Если  $\Delta v_\perp \ll m/\epsilon$ , то в (2) можно разложить по степеням  $\Delta v_\perp$ , что соответствует переходу к теории возмущений по потенциальному  $U$  (в задаче излучения этот вопрос обсуждался в [5]). С ростом  $\vartheta_o$  величина  $\Delta v_\perp$  (и, соответственно, вероятность  $W_e$ ) падает. Падение начинается, когда  $\Delta v_\perp \sim \frac{m}{\epsilon}$ , т.е. с углов  $\vartheta_o \sim \frac{U_o}{m}$ .

3. Проследим переход от вероятности (2) к пределу постоянного поля. В этом случае удобно перейти к относительному времени  $\tau = t_2 - t_1$  и  $t = \frac{1}{2}(t_1 + t_2)$ . Показатель экспоненты в (2) можно разложить по степеням  $\tau$

$$A = \frac{\epsilon \omega}{2\epsilon'} \left[ \left( \frac{m^2}{\epsilon^2} + (\vec{n}_\perp - \vec{v}_\perp(t))^2 \right) \tau + \left( \vec{v}_\perp^2 (\vec{n}_\perp - \vec{v}_\perp(t)) \vec{v}_\perp(t) \right) \frac{\tau^3}{12} \right] \quad (4)$$

Сравним два члена в скобках перед  $\tau^3/12$ . Учитывая, что  $|\vec{n}_\perp - \vec{v}_\perp(t)| \lesssim \frac{m}{\epsilon}$ , находим, что вторым членом можно пренебречь, если  $m|\vec{v}_\perp|/u_o \ll 1$ . При этом показатель экспоненты  $A$  переходит в выражение для постоянного поля [3]. Нетрудно видеть, что полученный критерий совпадает с критерием (10) в [2]. На этом этапе вычислений подынтегральное выражение в (2) есть функция  $\vec{s}_\perp(t), \vec{v}_\perp(t)$ . Тогда, переходя от переменных  $\vec{s}_o, \vec{v}_o$  к  $s(t), v_\perp(t)$  ( $d^2 s_o d^2 v_o \rightarrow d^2 s d^2 v_\perp(t)$ ) имеем для вероятности образования пары вблизи оси в единицу времени (см. [3], [2])

$$W_e = n d \int d^2 s W_e(s) = n d \int d^2 s \frac{\alpha m^2}{\pi \sqrt{3}} \int_0^\infty \frac{dy}{ch^2 y} \left[ 4 ch^2 K_{\frac{y}{\sqrt{3}}}(\xi) - \int_{\xi/\sqrt{3}}^\infty K_{\frac{y}{\sqrt{3}}}(\xi) \right] \quad (5)$$

где  $K_\nu$  - функция Макдональда,  $n$  - плотность атомов в кристалле,  $d$  - среднее расстояние между атомами в цепочке,

$$\xi = \frac{8 ch^2 y}{3 \alpha e}, \quad ch^2 y = \frac{\omega^2}{4 \epsilon \epsilon'}$$

4. В осевом случае мы используем потенциал и параметры, принятые в [2] (формула (4)-(5) и Таблица). Результаты вычисления вероятности  $W_e$  (5) для оси <III> изображены на рис. I (вольфрам при температурах  $77^\circ$  и  $293^\circ$ ) и рис. 2 (железо, алмаз, кремний). Левая часть кривых приведена в [2], настоящий расчет подтверждает оценку в [2] точности формулы (II). Совокупность полученных результатов показывает, что при  $\alpha \ll 1$  поведение  $W_e$  определяется в основном фактором  $\exp(-\delta/3\alpha)$  и с ростом  $\alpha$  величина  $W_e$  растет экспоненциально, а при  $\alpha > 1$  рост существенно замедляется и идет главным образом за счет увеличения радиального фазового объема. В области максимума в вольфраме  $W_{e_{max}} \approx 10 W_{BH}$  (рис. I;  $W_{BH}$  - вероятность рождения пары в механизме Бете-Гайтлера в экранированном потенциале); в железе  $W_{e_{max}} \approx 30 W_{BH}$ , в кремнии  $W_{e_{max}} \approx 70 W_{BH}$ , в ал-

мазе  $W_{e_{max}} \approx 130 W_{B_H}$  (рис.2). Подчеркнем, что в вольфраме при  $\omega = 50$  ГэВ –  $W_e \approx 3 W_{B_H}$ , а при  $\omega = 200$  ГэВ –  $W_e \approx 8 W_{B_H}$ , так что эффект легко наблюдать уже в настоящее время. Величину вероятности  $W_{e_{max}}$  в области максимума и положение максимума  $\omega_{max}$  для любого вещества можно получить из следующих оценочных формул (для потенциала (4) в [2])

$$W_{e_{max}} \approx \frac{2\alpha}{\sqrt{3}\pi} \frac{\nu_0}{m\omega^3}, \quad \omega_{max} \approx 30 \frac{a_s m^3}{\nu_0}. \quad (6)$$

Отметим, что из результатов этой работы вытекает, что если фотон или электрон очень высокой энергии (много выше порога обсуждаемых эффектов) влетает в монокристалл вблизи оси, то за счет обсуждаемого механизма и излучения в потенциале оси возможен специфический электро-фотонный ливень, который развивается на длинах на один-два порядка более коротких, чем ливень, обусловленный стандартным механизмом Бете-Гайтлера.

5. Эффект имеет место и в плоскостном случае. Однако, поскольку в данном веществе электрические поля плоскостей заметно меньше чем осей, то он будет проявляться при более высоких энергиях. Анализ здесь существенно упрощается, поскольку задача становится одномерной. Переходя в (2) к переменной  $\epsilon_x$ , взяв интеграл по  $d\rho_{ox} dx_o$  (ось  $o$  – перпендикулярна плоскостям), и используя периодичность движения при заданном  $\epsilon_x$  получаем для вероятности рождения пары в единицу времени

$$W_e^{pl} = \frac{\alpha m^2}{(2\pi)^2 \omega} d_{pe} \int_0^\omega \frac{d\epsilon}{\epsilon} \int d\epsilon_x [1 + \delta(\epsilon_x - U_{pe})] \int_0^\pi dt_1 \int_0^\pi dt_2 \left\{ 1 - \right. \quad (7)$$

$$\left. - \frac{\epsilon(\epsilon + \epsilon'^2)}{4m^2\epsilon'} (\int_x(t_1) - \int_x(t_2))^2 \right\} \int_{-\infty}^{+\infty} dy e^{i\omega t} \sum_{k=1}^{\infty} \delta \left( k - \frac{\omega T}{\epsilon \epsilon'} \langle \frac{m^2}{\epsilon^2} + \int_x^2 (\int_x - \delta_0)^2 \rangle \right)$$

где  $T = T(\epsilon_x)$  – период движения,  $U_{pe}$  – глубина плоскостной потенциальной ямы,  $d_{pl}$  – расстояние между плоскостями,  $\langle \rangle$  означает среднее значение по периоду. Интеграл по  $\int_x$  элементарно берется (интеграл от  $\delta$ -функции), мы оставили его здесь для компактности записи.

## Л и т е р а т у р а

- I. Kimbal J.C., Gue N, Roth L.M. and Marsh B.B. Phys. Rev. Lett., 1983, vol. 50. №13, pp.950-953.
2. Baier V.N., Katkov V.M. Strakhovenko V.M. Mechanism of electron-positron pair production by high-energy photons in a single crystal. – Novosibirsk, 1984. 15 p. (Preprint/INP; 84-43)
3. Байер В.Н., Катков В.М., Фадин В.С. Излучение релятивистских электронов. Москва, Атомиздат, 1973, с.374, ил.
4. Байер В.Н., В.М.Катков, Страховенко В.М. ЖЭТФ, 1981, т.80, № 4, с.1348-1360.
5. Байер В.Н., Катков,В.М., Страховенко В.М. Излучение релятивистских частиц при плоскостном канализировании. – Новосибирск, 1980, 50 с. (Препринт/Институт ядерной физики СО АН СССР, 80-03).

Подписи к рисункам

Рис.1 Вероятность рождения пары фотоном ( формула (5) )  
вблизи оси III в вольфраме при температуре  $T = 77^{\circ}$   
и  $T = 293^{\circ}$ . Вероятность механизма Бете-Гайтлера  
 $W_{BH} = 2,2 \text{ см}^{-1}$ .

Рис.2 То же, что на рис.1 в железе, кремни и алмазе (при  
комнатной температуре); в  $Fe$   $W_{BH} = 0,42 \text{ см}^{-1}$ , в  $Si$   
 $W_{BH} = 0,076 \text{ см}^{-1}$ , в алмазе  $W_{BH} = 0,064 \text{ см}^{-1}$ .

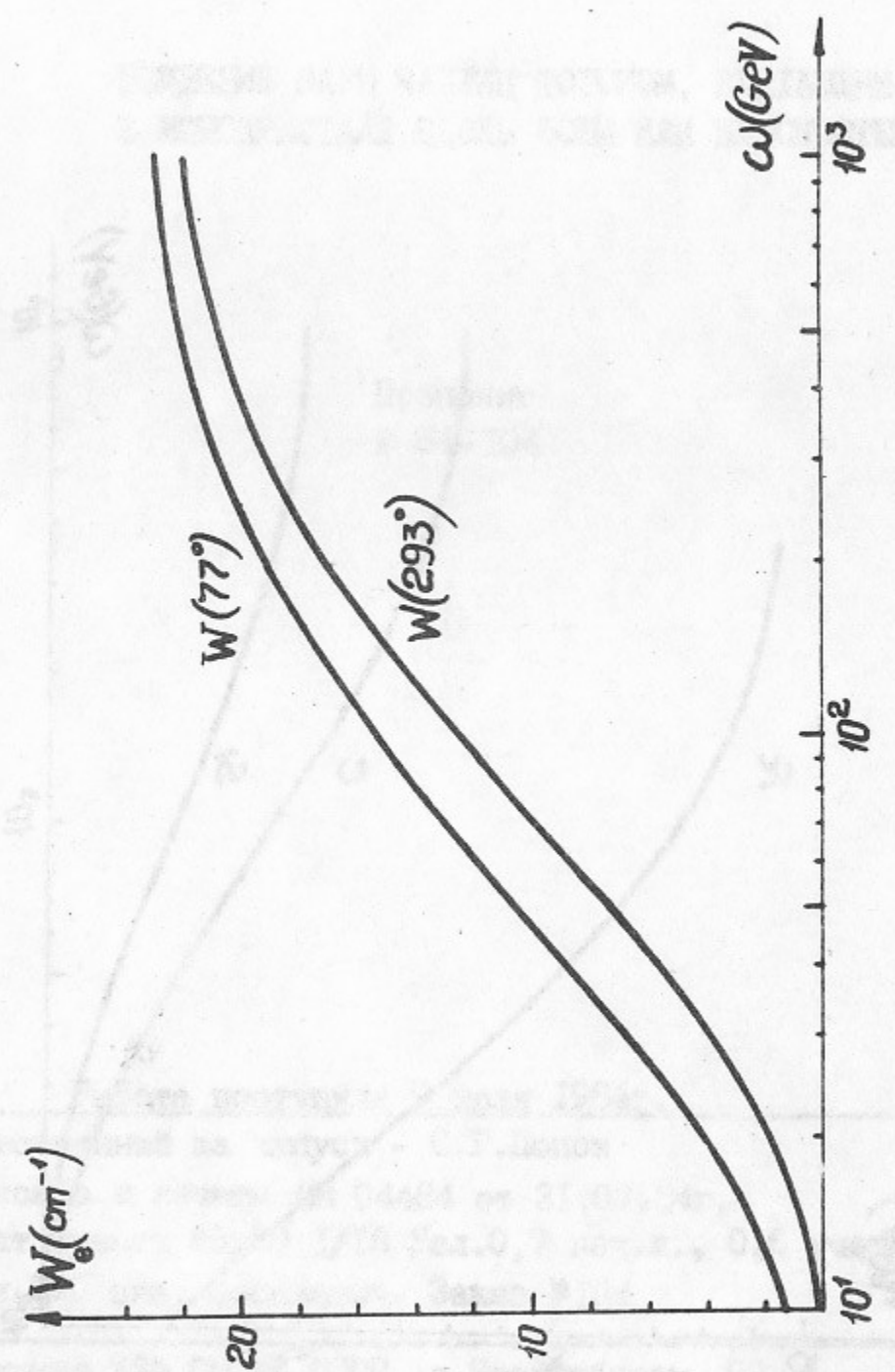


Рис.1

В.Н.Байер, В.М.Катков, В.М.Страховенко

РОЖДЕНИЕ ПАРЫ ЧАСТИЦ ФОТОНОМ, ВЛЕТАЮЩИМ  
В МОНОКРИСТАЛЛ ВДОЛЬ ОСЕЙ ИЛИ ПЛОСКОСТЕЙ

Препринт  
№ 84-104

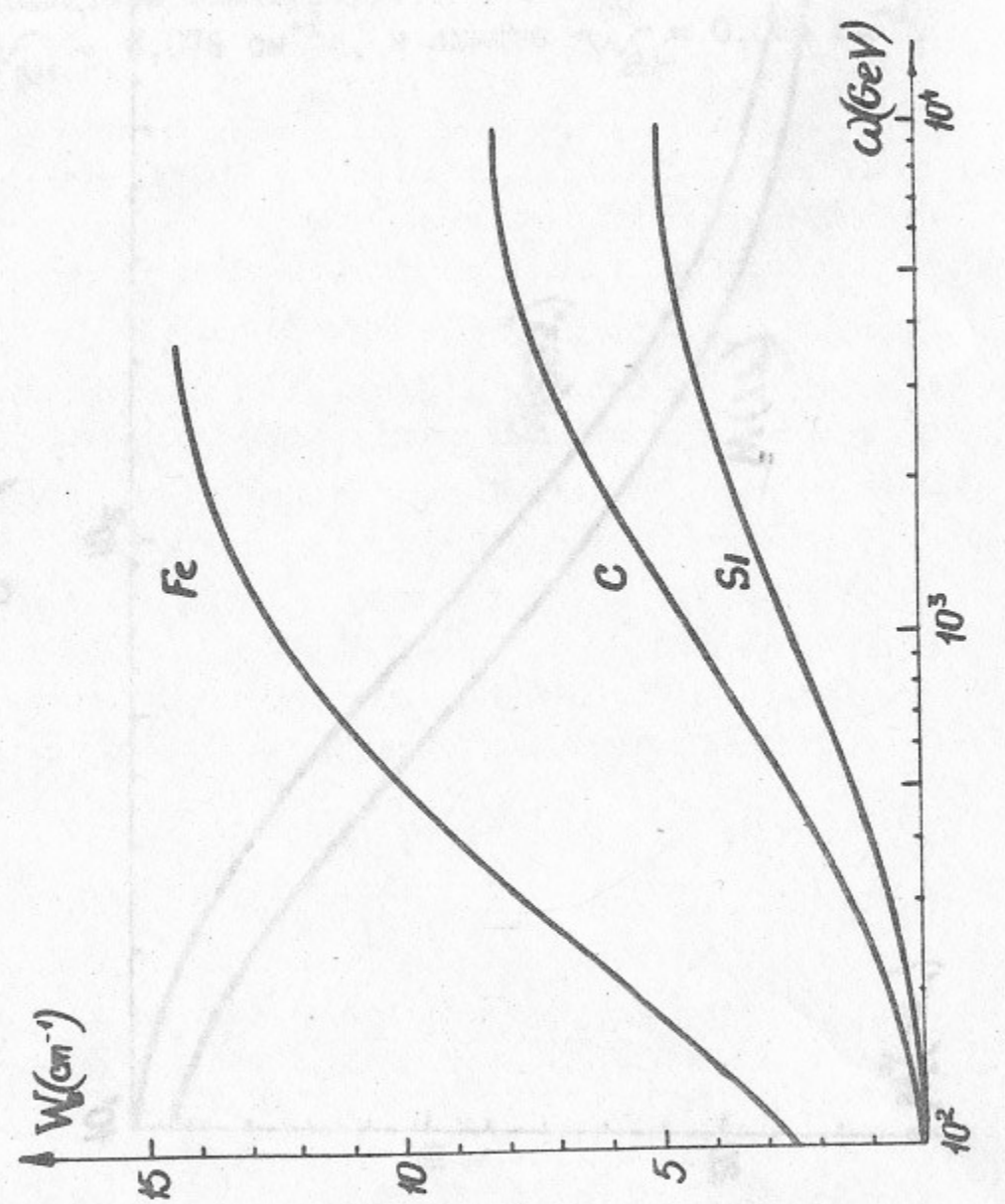


Рис. 2

Работа поступила 9 июля 1984г.

Ответственный за выпуск - С.Г.Попов

Подписано к печати МН 04484 от 31.07.84г.

Формат бумаги 60x90 I/16 Усл.0,7 печ.л., 0,6 учетно-изд.л.

Тираж 290 экз. Бесплатно. Заказ №104

Ротапринт ИЯФ СО АН СССР, г.Новосибирск, 90